Раздел 7

Линейный анализ устойчивости

Теория устойчивости

- Запишем уравнение равновесия конструкции, к которой приложена система постоянных сил, в следующем виде:

$$[\,K\,]\,\{\,u\,\} = \{\,P\,\}$$

- Рассмотрим эффект дифференциальной (геометрической) жесткости. *Дифференциальная жесткость* [K_d] появляется в результате учета членов высокого порядка в зависимостях деформация-перемещение. Эти зависимости подразумевают, что перемещения в конструкции не зависят от интенсивности нагрузки.

Теория устойчивости (продолжение)

- Пусть λ произвольный скалярный множитель для другой "интенсивности" нагрузки.

$$([K] + \lambda[K_D])\{u^*\} = \{\lambda P\}$$

- При нагружении конструкции данной силой с различной интенсивностью, могут быть найдены несколько положений неустойчивого равновесия. Эти положения равновесия являются решениями задачи на собственные значения.

$$([K] + \lambda[K_D])\{\delta u^*\} = 0$$

Решение задачи на собственные значения

$$[\, K - \lambda K_d \,]\, \{\varphi\} = 0 \qquad (1)$$

- **Решение нетривиально (отлично от нуля) только для определенных значений $\lambda = \lambda_i$ для i = 1, 2, 3,…, n,**

  которые делают матрицу $[\, K - \lambda K_d \,]$ сингулярной.

Решение задачи на собственные значения (продолжение)

- Каждому собственному значению λ_i, соответствует единственный собственный вектор $\{ \varphi_i \}$.
- $\{ \varphi_i \}$ может быть масштабирован с помощью любого скалярного множителя и по прежнему оставаться решением уравнения (1).
- Компоненты вектора $\{ \varphi_i \}$ - вещественные числа.

Последовательности решений для задач устойчивости

- **SOL 105 Линейная устойчивость**
- **SOL 106 Нелинейная устойчивость**

- **Ограничения для SOL 105**
  - Требования к конструкции до потери устойчивости:
    - Перемещения должны быть малы.
    - Напряжения должны быть в упругой области (и линейно зависеть от деформаций).

Последовательности решений для задач устойчивости (продолжение)

- **Пример: Три класса колонн (под центральной нагрузкой, материал без дефектов)**

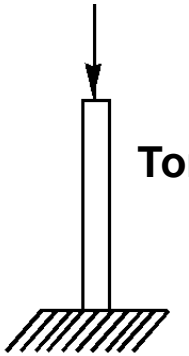

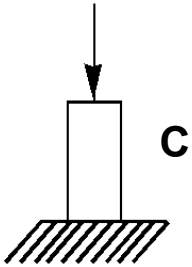

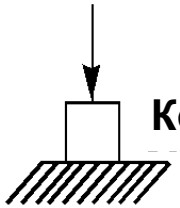

Теряет форму из-за потери устойчивости. Прогиб, при потере устойчивости мал и критическая нагрузка не достигает предела текучести материала. Это колонна Эйлера.

Причина потери формы – комбинация текучести и потери устойчивости. Прогиб при потере устойчивости мал, но некоторые напряжения превышают предел упругости материала.

Причина потери формы – текучесть (также, как при тестовом сжатии образца)

Последовательности решений для задач устойчивости (продолжение)

- **Примечание:**
  - SOL 105 может применяться для конструкций с небольшими дефектами материала или с очень малым эксцентриситетом нагрузки (например, когда нагрузка направлена не строго в центр и приводит к небольшому изгибу).
    Здесь инженеру надо исходить из здравого смысла.
  - Те же соображения применимы при анализе пластин.

Примеры нелинейного анализа устойчивости

- **Колонна под нагрузкой с большим эксцентриситетом**

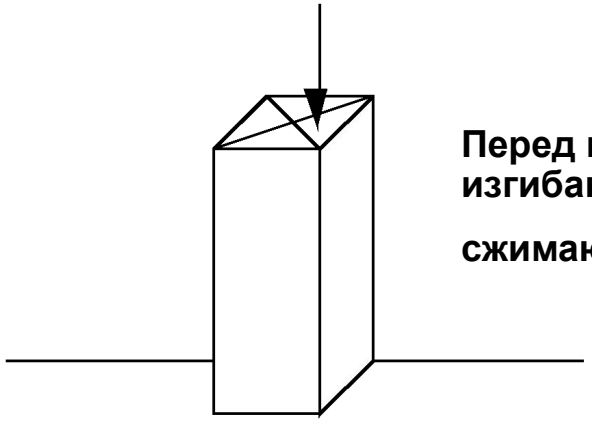

Перед потерей устойчивости возникают большие изгибающие напряжения, такие же как и сжимающие осевые напряжения.

- **Прощелкивание тонкой оболочки (подобно дну бака)**

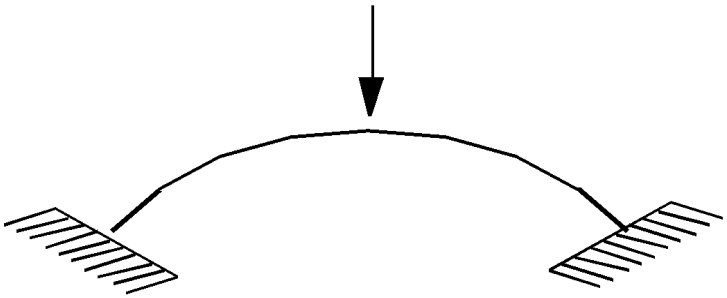

Перед потерей устойчивости возникают большие прогибы, и возможно не упругое поведение конструкции.

Правила для анализа устойчивости SOL 105

- **(Для справки необходимо смотреть** *раздел 13, MSC NASTRAN Linear Statics Users Guide*)
- **Секция CASE CONTROL должна содержать не менее двух SUBCASE.**
- **Запросы на вывод, которые относятся только к решению статической задачи должны быть помещены в первом SUBCASE.**
- **METHOD должен появиться в отдельном SUBCASE для выбора записей EIGB или EIGRL из секции BULK DATA для решения задач устойчивости.**
- **Если имеется несколько статических решений, тогда используйте команду STATSUB для выбора варианта одного из статических решений для дальнейшего решения задачи устойчивости.**

Правила для анализа устойчивости SOL 105 (продолжение)

- Если необходимо, могут использоваться различные условия в SPC узлах в SUBCASE статического решения и SUBCASE решения задачи устойчивости.
- Запросы на вывод могут быть помещены в любом выбранном SUBCASE.
- Запросы на вывод, действующие одновременно и в статическом расчете и в анализе устойчивости могут быть помещены выше уровня SUBCASE.

Записи для линейного анализа устойчивости

- Секция EXECUTIVE CONTROL

SOL 105

- Секция CASE CONTROL

SUBCASE 1 LOAD = M	Определяет условия статического нагружения (LOAD, TEMP, DEFORM)
SUBCASE 2	Выбирает метод нахождения собственных значений
METHOD = N STATSUB = i	Выбирает SUBCASE статического решения чтобы использовать его для решения задачи устойчивости (по умолчанию берется первый SUBCASE)

Записи для линейного анализа устойчивости (продолжение)

- **Секция CASE CONTROL должна содержать не менее двух SUBCASE.**

- **Секция BULK DATA**
- **Определение условий статического нагружения**
- **EIGB** Данные для нахождения собственного значения

или

- **EIGRL** Данные для нахождения собственного значения по методу Ланцоша.

Запись EIGRL

- **EIGRL Рекомендуемая запись для расчета устойчивости**
  - Определяет данные, необходимые для проведения решения задачи на собственные значения и анализа устойчивости методом Ланцоша.

1	2	3	4	5	6	7	8	9	10
EIGRL	**SID**	**V1**	**V2**	**ND**	**MSGLVL**	**MAXSET**	**SHFSCL**	**NORM**	
EIGRL	**1**	**0.1**	**3.2**	**10**					

Запись EIGRL (продолжение)

Поле	Содержание
• SID	Идентификатор набора (уникальное целое число > 0)
• V1, V2	Анализ вибрации: диапазон интересующих частот. Анализ устойчивости: диапазон интересующих l. Если необходимы все моды ниже определенной частоты, то установите V2 на это значение и оставьте V1 пустым. Не рекомендуется приравнивать V1 к нулю. Эффективнее использовать небольшое отрицательное значение или оставить его пустым.
• ND	Число необходимых корней (целое > 0 или оставлять чистым)
• MSGLVL	Уровень диагностики (целое, от 0 до 3 или оставлять чистым)
• MAXSET	Число векторов в блоке (целое, от 1 до 15 или оставлять чистым)

Пример - простая колонна Эйлера

- **Задача:**
  - Найти критическую нагрузку и соответствующую ей первую форму потери устойчивости цилиндрического стержня.

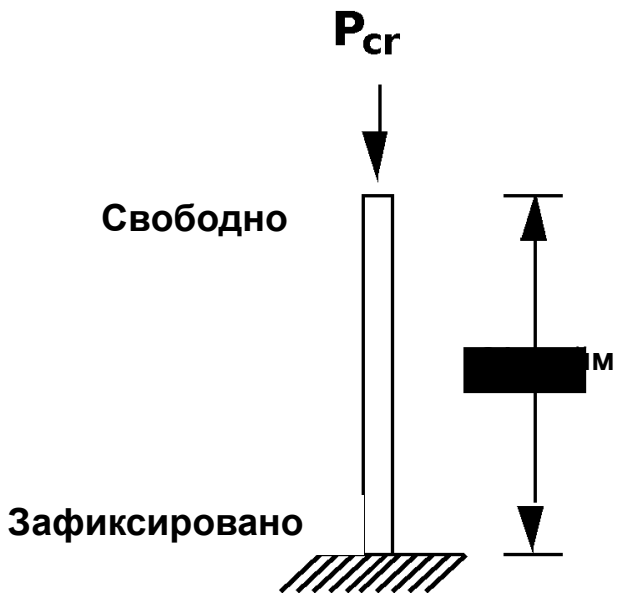

Круглое сечение

Диаметр = 0.25 дюйма

E **= 30.E+6 фунтов/дюйм^2**

I **= 1.917E-4 дюйм^4**

Площадь = 4.909E-2 дюйм^2

Пример - простая колонна Эйлера (продолжение)

- **Теоретическое решение**

$$P_{cr} = \frac{\pi^2 EI}{L_{eff}^2} = 32{,}18 \text{ фунта}$$

где L_{eff} – эффективная длина колонны

$L_{eff} = 2L$ – для свободно опертой колонны

Пример - простая колонна Эйлера
(продолжение)

- **Модель MSC Nastran**

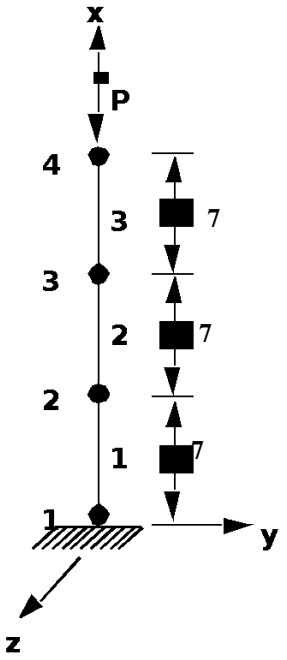

<u>Решение MSC Nastran</u>

Значение силы в записи FORCE

$$P_{cr} = \square 32.18 \times 1.0 = \square 32.18 \text{ фунта}$$

Собственное значение

Пример – простая колонна Эйлера – входной файл

```
sol 105
cend
$
title = buckling of fixed-free beam
disp = all
$
echo = punch
spc = 10
subcase 1
 label = static subcase
 load = 5
subcase 2
 label = buckling subcase
 method = 100
$
begin bulk
$
CBEAM   1       1       1       2       0.      0.      1.
CBEAM   2       1       2       3       0.      0.      1.
CBEAM   3       1       3       4       0.      0.      1.
EIGRL   100                     1
FORCE   5       4               1.      -1.
GRID    1               0.      0.      0.              345
GRID    2               7.      0.      0.              345
GRID    3               14.     0.      0.              345
GRID    4               21.     0.      0.              345
MAT1    2       30.E6           .33
PBEAM   1       2       4.909E-21.917E-41.917E-4        3.835E-4
SPC1    10      123456  1
enddata
```

Пример – простая колонна Эйлера – выходной файл

- **Первое собственное значение:**
  Pcr = λ_1 x 10 фунтов = 32.18 фунта
- **Первый собственный вектор**
  (дает форму потери устойчивости)

```
BUCKLING OF FIXED-FREE BEAM                                    OCTOBER  17, 2000  MSC.NASTRAN 10/12/00   PAG

                                                                                                  SUBCASE 2

                                        R E A L   E I G E N V A L U E S
MODE    EXTRACTION      EIGENVALUE          RADIANS            CYCLES            GENERALIZED        GENERALIZED
 NO.       ORDER                                                                    MASS              STIFFNESS
   1         1        3.217839E+01       5.672600E+00       9.028223E-01        5.873539E-02       1.890010E+00
BUCKLING OF FIXED-FREE BEAM                                    OCTOBER  17, 2000  MSC.NASTRAN 10/12/00   PAG

                                                                                                  SUBCASE 2
BUCKLING OF FIXED-FREE BEAM                                    OCTOBER  17, 2000  MSC.NASTRAN 10/12/00   PAG

 BUCKLING SUBCASE                                                                                 SUBCASE 2
 EIGENVALUE =  3.217839E+01
                                R E A L   E I G E N V E C T O R   N O .        1

 POINT ID.   TYPE        T1            T2            T3            R1            R2            R3
      1       G      0.0           0.0           0.0           0.0           0.0           0.0
      2       G      4.118373E-18  1.339746E-01  0.0           0.0           0.0           3.739763E-02
      3       G      7.290629E-18  5.000000E-01  0.0           0.0           0.0           6.477460E-02
      4       G      8.820291E-18  1.000000E+00  0.0           0.0           0.0           7.479527E-02
```

Литература по анализу устойчивости

- **MSC Seminar Notes, "***MSC NASTRAN Material and Geometric Nonlinear Analysis***":**
- **MSC Nastran Linear Static Analysis Users Guide, Section 13.**
- **MSC Nastran Verification Problem Manual (***Version 64, January 1986 Edition***):**
  - Problem 3.0501A, "Lateral Buckling of a Cantilever Beam"
  - Problem 3.0502A, "Simple Frame Analysis with Buckling"
  - Problem 3.7701S, "Euler Buckling of a Simply Supported Beam"

Литература по анализу устойчивости
(продолжение)

- **MSC Nastran Demonstration Problem Manual (*Version 64, March 1985 Edition*):**
  - Under Elastic Stability Analysis, see Demonstration Problem D0504A, “Flexural Buckling of a Beam”
- **MSC Nastran Application Notes**
  - October 1978 “Buckling and Real Eigenvalue Analysis of Laminated Plates”
  - September 1979 “Static Stability of Structures with Nonlinear Differential Stiffness”
  - February 1982 “Elastic-Plastic Buckling of a Thin Spherical Shell”
  - November 1985 “Nonlinear Buckling Analysis”

Пример 9

Анализ устойчивости пластины

Пример 9 (продолжение)

- **Описание модели**
  - Та же самая модель панели, что и в примере 5, без подкреплений.
  - В этой модели применены следующие граничные условия:
    - Опирание на левом конце
    - “Ролики” на правом конце
    - Нулевые вертикальные перемещения на верхней и нижней гранях
  - Приложим 100 фунт/дюйм2 сжимающие нагрузки к правому краю пластины
    - Общая нагрузка на правой стороне = (100) (8) (.01) = 8
      - Приложим 1 фунт в каждый из узлов 11 и 55 сетки
      - Приложим 2 фунта в каждый из узлов 22, 33 и 44 сетки

Пример 9 (продолжение)

– Граничные условия

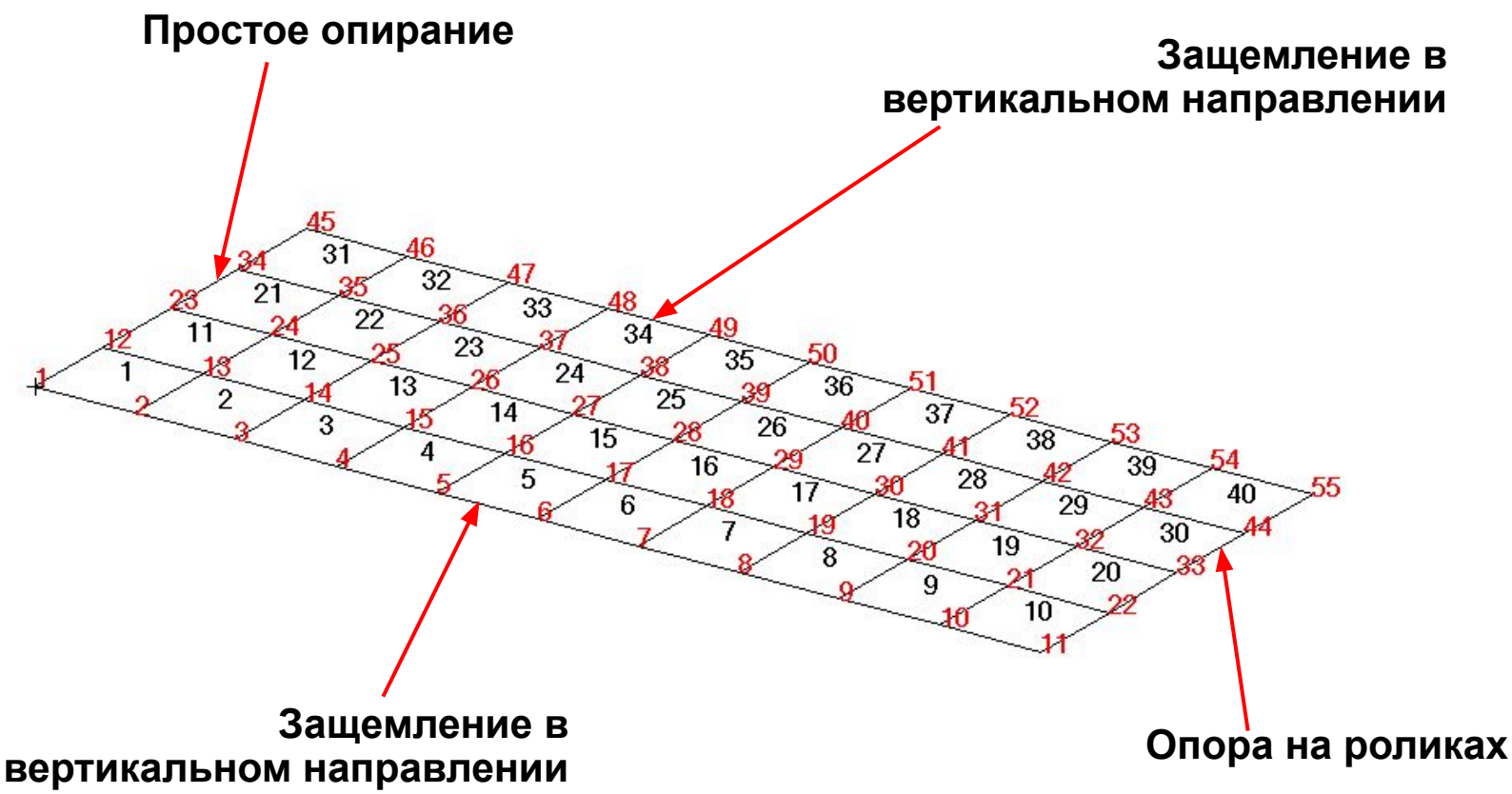

Пример 9 (продолжение)

– Приложенные нагрузки

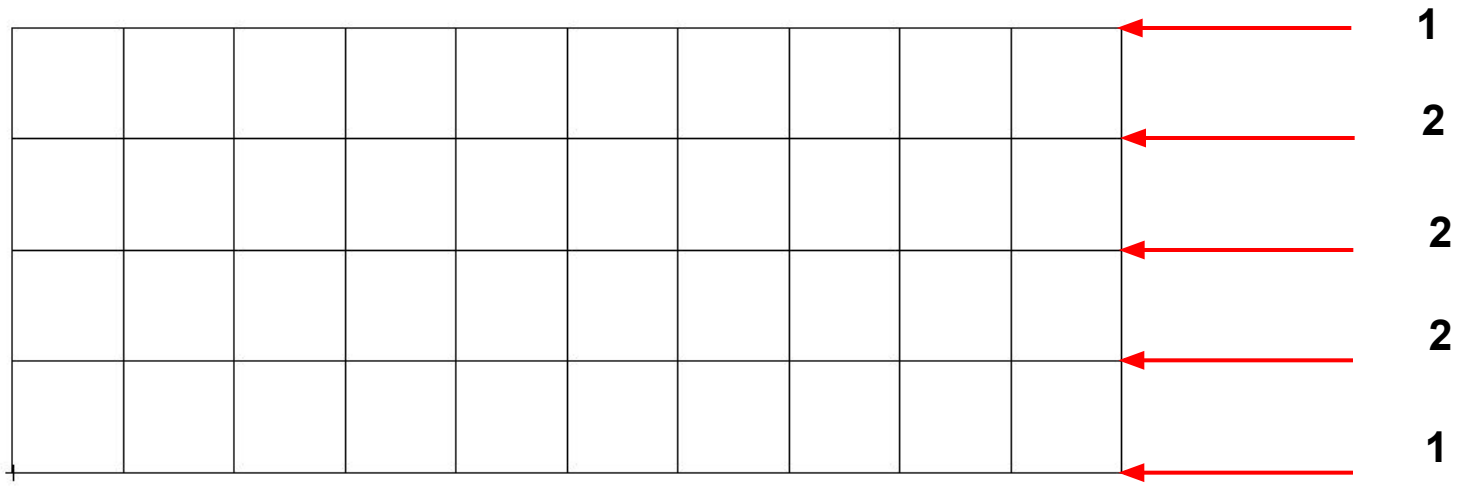

Жесткие элементы Лагранжа

- Новые жесткие элементы Лагранжа поддерживают дифференциальную жесткость
- Новые жесткие элементы Лагранжа поддерживают задачи на устойчивость
- В настоящее время решение SOL 105 (линейная задача устойчивости) поддерживает только метод исключений Лагранжа (error 1-11842201)

Усовершенствования жестких элементов
(продолжение)

- **Пример:**

Анализ устойчивости модели двумя методами

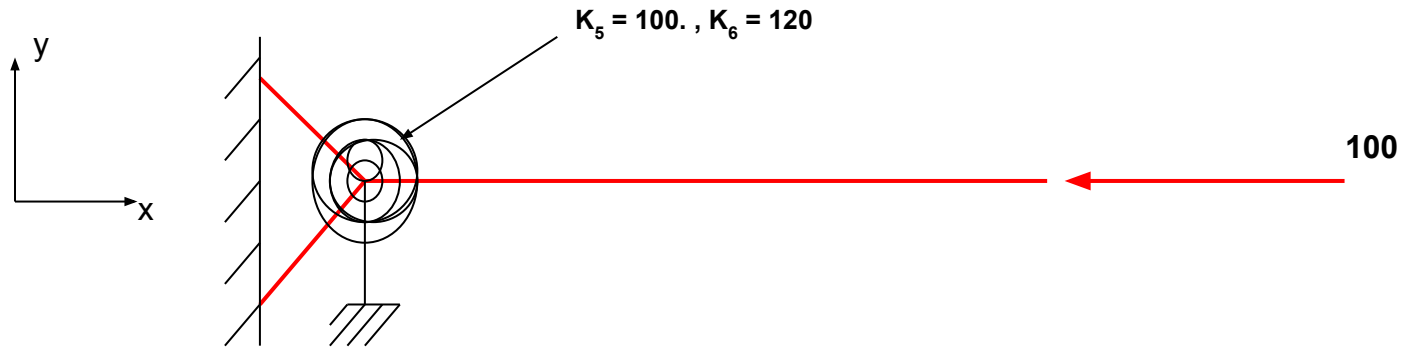

- **Жесткие элементы Лагранжа**
- **Жесткая балка**

Усовершенствования жестких элементов (продолжение)

Входной файл (элементы Лагранжа)

```
$
$   lagrange1.dat
$
SOL 105
CEND
TITLE = BUCKLING ANALYSIS - RBAR
SUBTI = LAGRANGE ELIMINATION METHOD
DISP = ALL
SPC  = 10
RIGID = LGELIM
SUBCASE 1
LABEL=STATIC PRELOAD CASE
  LOAD = 100
SUBCASE 2
LABEL = BUCKLING CASE
  METHOD = 10
BEGIN BULK
EIGRL,10,,,10
FORCE,100,4 ,0,-100.0,1.0,0.0,0.0
CELAS2,101,100.0,3,5
CELAS2,102,120.0,3,6
GRID, 3 ,,2.0,0.0,0.0
GRID, 4 ,,4.0,0.0,0.0
RBAR, 3,3,4,123456, , ,123456
SPC1,10,1234,3
ENDDATA
```

Входной файл (жесткие балки)

```
$
$   lagrange2.dat
$
SOL 105
CEND
TITLE = BUCKLING ANALYSIS - USE STIFF BEAM
DISP = ALL
SPC  = 10
SUBCASE 1
LABEL=STATIC PRELOAD CASE
  LOAD = 100
SUBCASE 2
LABEL = BUCKLING CASE
  METHOD = 10
BEGIN BULK
EIGRL,10,,,10
FORCE,100,4 ,0,-100.0,1.0,0.0,0.0
CELAS2,101,100.0,3,5
CELAS2,102,120.0,3,6
CBEAM,100,100,3,4,0.,0.,1.
PBEAM,100,1,100.,100.,100.,,100.
MAT1,1,1.E7,,.32
GRID, 3 ,,2.0,0.0,0.0
GRID, 4 ,,4.0,0.0,0.0
SPC1,10,1234,3
ENDDATA
```

Усовершенствования жестких элементов (продолжение)

- **Результаты (жесткие элементы Лагранжа)**

```
0    STATIC PRELOAD CASE                                                                                    SUBCASE 1

                                                D I S P L A C E M E N T   V E C T O R

      POINT ID.   TYPE          T1              T2              T3              R1              R2              R3
             3      G        0.0             0.0             0.0             0.0             0.0             0.0
             4      G        0.0             0.0             0.0             0.0             0.0             0.0
     101000004      L        0.0             0.0             0.0             0.0             0.0             0.0

                                                R E A L   E I G E N V A L U E S
   MODE     EXTRACTION      EIGENVALUE            RADIANS             CYCLES            GENERALIZED         GENERALIZED
    NO.       ORDER                                                                        MASS              STIFFNESS
      1          1        5.000000E-01        7.071068E-01        1.125395E-01        2.000000E+02        1.000000E+02
      2          2        6.000000E-01        7.745967E-01        1.232809E-01        2.000000E+02        1.200000E+02
```

- **Результаты (жесткие балки)**

```
1    BUCKLING ANALYSIS - USE STIFF BEAM                                    JUNE    5, 2003   MSC.NASTRAN  6/ 2/03    PAGE     12

0                                                                                                                   SUBCASE 2

                                                R E A L   E I G E N V A L U E S
   MODE     EXTRACTION      EIGENVALUE            RADIANS             CYCLES            GENERALIZED         GENERALIZED
    NO.       ORDER                                                                        MASS              STIFFNESS
      1          1        4.999999E-01        7.071067E-01        1.125395E-01        5.000000E+01        2.500000E+01
      2          2        5.999998E-01        7.745966E-01        1.232809E-01        5.000000E+01        2.999999E+01
```